

Efecto del sistema de conducción sobre el crecimiento de dos variedades pimiento (*Capsicum annuum* L.) bajo invernadero en la provincia de Corrientes.

Gonzalez¹, F.M., Pacheco², R.M., Rodriguez², V.M. y Sandoval², E.E.

¹.AER INTA Bella Vista; ².EEA INTA Bella Vista. e-mail: gonzalez.facundo@inta.gob.ar

INTRODUCCIÓN

El pimiento es uno de los cultivos más importantes bajo invernadero en la provincia de Corrientes. Uno de los limitantes para la producción es la escasa luminosidad en periodos otoño invernales. El objetivo de este trabajo fue evaluar el efecto de sistema de conducción, genotipo y su interacción sobre el crecimiento de pimiento bajo invernadero plástico.

MATERIALES Y MÉTODOS

El experimento se realizó en la EEA INTA Bella Vista durante la campaña 2018 utilizando un Diseño de Bloques en Parcelas Divididas. Se analizaron cuatro tratamientos: T1: Pimiento Granate sistema seto; T2: Pimiento Granate sistema abierto; T3 Pimiento Único sistema seto; Pimiento Único en sistema abierto, con tres repeticiones. Se evaluó radiación interceptada (base de planta, primera horqueta y altura de canopia) cada siete días y crecimiento (altura de planta, área foliar, peso fresco y seco de tallo, raíz, hoja y frutos) en distintas fases del cultivo. Se realizó Análisis de Regresión y Análisis de Componentes Principales.

RESULTADOS

Biplot de componentes principales

El Análisis de Componentes Principales logra reducir la dimensión de los datos, manteniendo el 75,5% de la información (47,9% en la componente 1 y 28,5% en la componente 2) (Figura 1).

Se observa ubicación de las combinaciones Híbrido-Sistema de conducción, sobre la componente 1 (eje horizontal), a la izquierda arriba la combinación Único-abierto, asociada a mayores valores de peso seco de tallo y raíz, abajo a la izquierda las combinaciones de los híbridos Granate y Único con el sistema de conducción de seto, asociados a mayores valores de altura de planta y radiación interceptada abajo y en la horqueta, y arriba a la derecha la combinación Granate-abierto, asociada a mayores valores de las restantes variables (Figura 1).

Alturas de plantas (cm) en el tiempo

Las curvas son crecientes en el tiempo, con una estabilización en el tercer momento de medición (16/06/18) (Figura 2).

Las combinaciones del sistema seto presentan las mayores alturas de planta a partir del segundo momento de medición (14/05/18) (Figura 2).

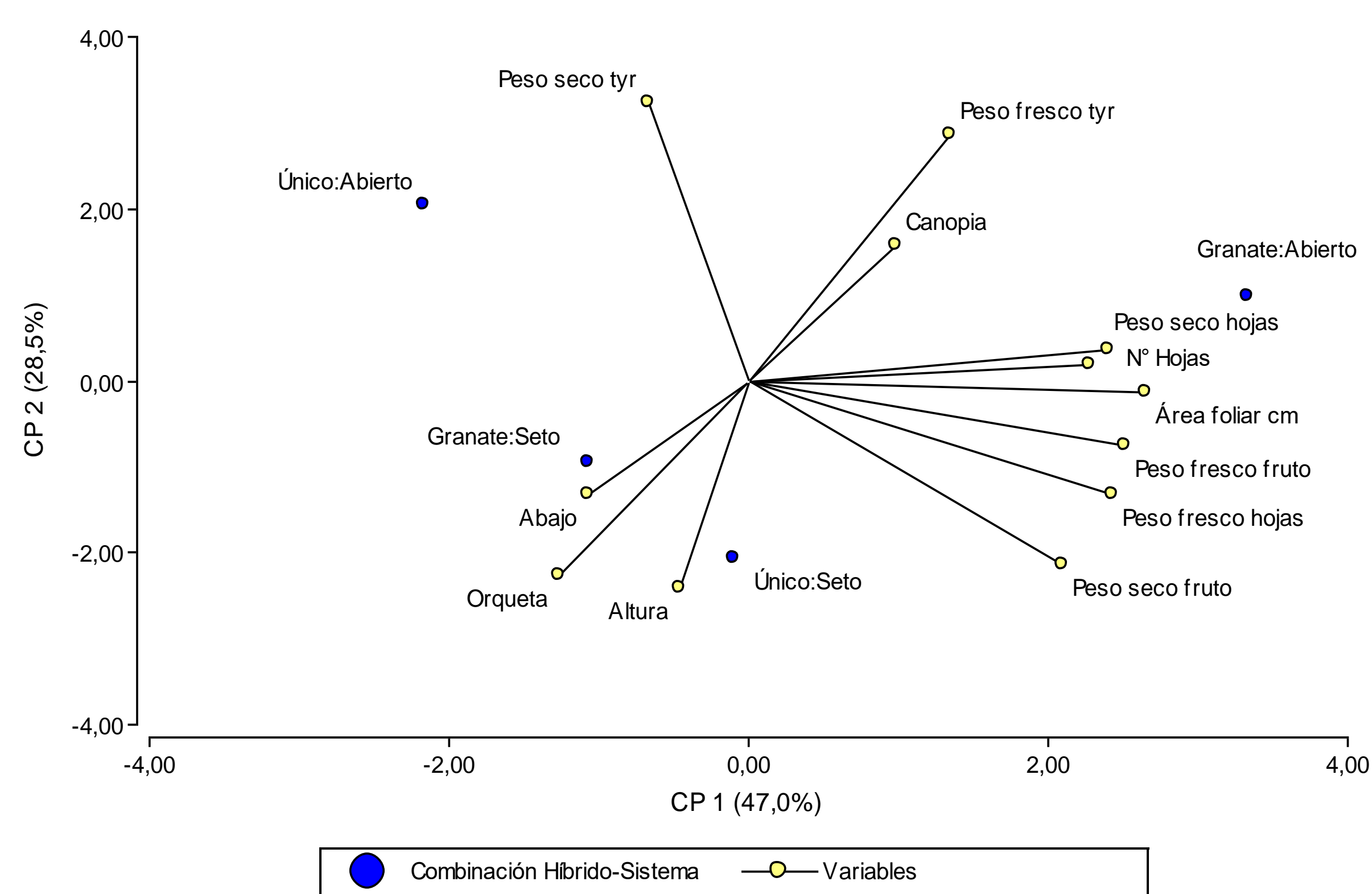


Figura 1. Biplot resultante del Análisis de Componentes Principales

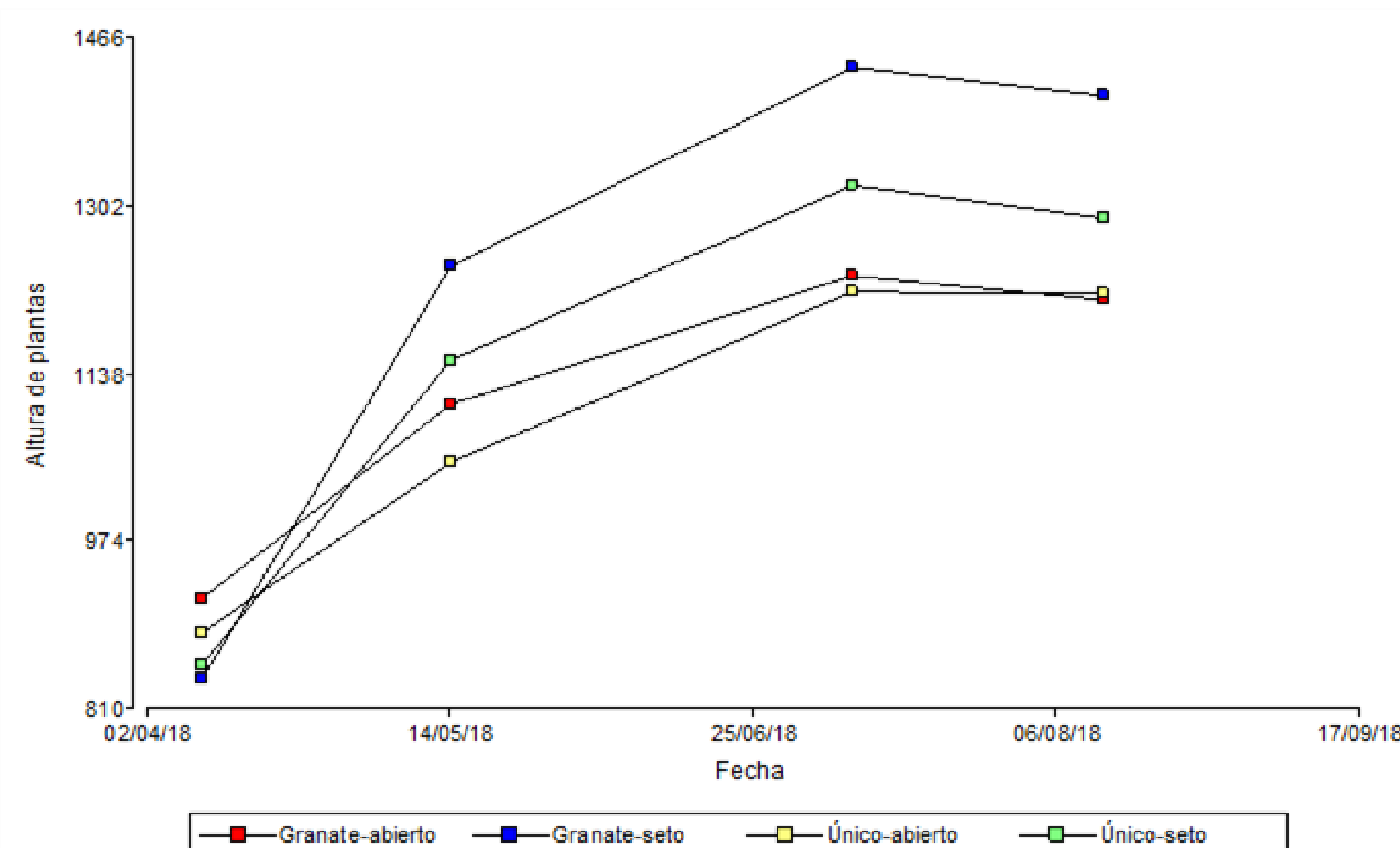


Figura 2. Evolución de la altura de plantas (en cm) en el tiempo, según combinación de híbrido y sistema de conducción

Combinación	R ²	R ² Aj	ECMP	AIC	BIC
Granate-abierto	1	1	330,67	23,54	21,08
Único-abierto	1	0,99	4326,08	33,82	31,37
Granate-seto	0,99	0,98	42685,39	42,98	40,52
Único-seto	1	0,99	6601,39	35,51	33,06

CONCLUSIÓN

Variables de crecimiento

Los pesos secos de frutos exhiben máximos entre los meses de julio y agosto, coincidiendo con la primera ola de maduración y de cosecha, lo que indica que los frutos de la primera ola serían más grandes que los de la segunda.

Los sistemas abiertos se asocian a mayores valores de peso seco y fresco de tallo y raíz, peso fresco y seco de hojas, número de hojas, área foliar y peso fresco de frutos.

Captación de la luz

Los sistemas abiertos se asocian a mayores valores de radiación interceptada a la altura de la canopia, mientras que las del sistema seto se asocian a mayores valores de radiación interceptada abajo y en la horqueta.